

京都大学工学部 正会員 松尾新一郎
 関西大学工学部 正会員 西田一彦
 ○ 大阪工業大学 正会員 福田護

1. まえがき

火成岩系風化砂質土（以後風化砂質土と称す）は、酸性岩・中性岩の風化産物、すなわち花崗岩・流紋岩・閃綠岩・安山岩風化土のことである。これらの風化砂質土は丘陵地や山地に広く分布する。これらの風化砂質土を構造物の材料、たとえば盛土、カルバートの埋も地盤、擁壁・矢板の裏込めなどに利用した場合、載荷による圧縮沈下あるいは飽水・浸水などによる沈下を生ずることが多々ある。したがって、この種の土の圧縮特性についての基本的研究と、その結果の現場への利用が急にまたれている。本報告は、前述の圧縮沈下のうち、主として載荷による圧縮沈下の基礎的実験結果について述べるものである。載荷による沈下量は、ちゅう積粘土では圧密として、また通常の砂（運積砂）については多數の実験により発明されているが、他方風化土のそれを論議したもののはほとんどみあたらぬ。そこで、風化砂質土と通常の砂と比較してみると、土性的にかなりの差異があるので当然両者の圧縮性も異なる。研究の結果、この種の土はその母岩の鉱物組成に由来する特有の圧縮性をもつてゐることが判明した。

2. 試料および実験方法

試料の鉱物組成および基本的な性質を表-1、図-1に示す。試料は自然乾燥後、約500gを約2.0mの高さから落下調整し、2.0mm以上の粒子を取り除いて実験試料とした。圧縮試験方法は、径10.0cm高さ4.0cmのモールドを使用

し、静的拘束圧縮試験方法を採用した。また初期の誤差を除去するため、あらかじめ0.0262kg/cm²の荷重を先行させ、除去後実験を開始した。なお、モールド壁の抵抗力は別途の実験で求め、解析にはその修正荷重を用いた。

3. 実験結果

(1) 花崗岩風化土（マサ土）；不飽和土および飽和土の $e - \log p$ 線を図-2、繰返し圧縮試験結果例を図-3に示す。実験結果から、不飽和土の $e - \log p$ 線は、0.05%以下以下の先行荷重影響部分を除き、正規圧縮状態のところで直線性を呈す。水中で作成した飽和土は、供試体作成時によく縮った状態となる。したがって、実験の初期から開ゲギ比は小さく、荷重増にともなう体積変化量も少なくて、 $e - \log p$ 線は上方に凸となる。この飽和土の圧縮指數 C_c と荷重 p の関係を表-2に、また不飽和土の C_c と含水比の関係を図-4に示す。表-2からわかるように、水中で作成された供試体の C_c の値はきわめて小さい。また不飽和土の C_c は、 W が異なってもほとんど変化はけられず約0.3となっている。図-5は荷重を

	花崗岩風化土	流紋岩風化土	閃綠岩風化土	安山岩風化土
採取地	大阪府生駒山	三田市市立湖	兵庫県川西市花園町	奈良県二上山
試料の 鉱物	石英・長石・雲母 石英・長石・雲母 カオリナイト	石英・長石・雲母 ガルナイト・ハロサイト モリブナイト	長石・カオリナイト 13A・ハロサイト	カオリナイト・ハロサイト モリブナイト
比 重	2.65	2.65	2.67	2.66
灼熱減量	2.98	5.03	6.17	4.12
流動限界	27.8	29.3	28.6	35.8
pH	5.4	5.3	4.4	5.7

表-1 基本的な性質

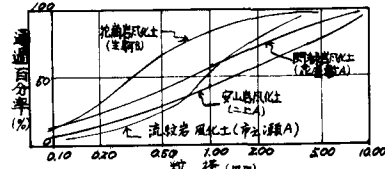


図-1 粒径加積曲線

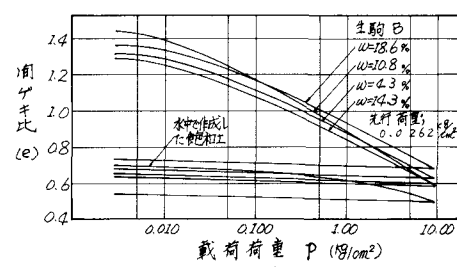


図-2 マサ土の圧縮線

(注) ある荷重を先行させ、この荷重より大きな荷重を圧縮荷重として用いた状態を便宜的に「正規圧縮状態」と呼ぶことにする。

パラメーターとして、 W と C_c の関係をまとめたものである。図のようすに不飽和土のまは、同一荷重で含水比によって関係がくほぼ一定となる。

2)流紋岩風化土；この土の $e - \log P$ 線を図-6に示すが、マサ土と同様正規圧縮状態のもとで直線性を呈する。が、その勾配 C_c の値は、含水比によって異なる。 $C_c \sim W$ 線は上方に凸で、 C_c の最大値は W の18%付近にあり約0.6の値となつた。水中で作成した供試体の C_c の値は、表-2のとおり小さい。

図-7は、繰固め曲線を示す。

この曲線は、図からわかるように約0.5 kg/cm²以下の荷重で下方に凸、逆に2.0 kg/cm²以上の荷重では上方に凸となつている。

3)閃緑岩風化土； $e - \log P$ 線を図-8に示すが、他の風化砂質土と同様、正規圧縮状態のもとで直線性を呈す。この土も流紋岩風化土と同じように C_c の値は、含水比によって異なる。そして C_c の最大値は、 W の19%付近にあり、約0.6の値となつた。水中で作成した供試体の C_c の値は、表-2のとおり小さい。図-9は繰固め曲線を示す。この曲線でも流紋岩風化土と同様約0.5 kg/cm²以下の荷重で下方に凸、逆に約2.0 kg/cm²以上の荷重では上方に凸となる傾向を示した。

4)安山岩風化土； $e - \log P$ 線を図-10に示すが、この土も同じく正規圧縮状態のもとで直線性を呈す。 C_c の値は、この土も同様含水比によって異なる。 C_c の最大値は、 W の25%付近にあり、約0.6の値となつた。水中で作成した供試体の C_c の値は、表-2のとおり小さい。図-10は繰固め曲線を示す。この土の繰固め曲線も図に示されるように、約2.0 kg/cm²以下の荷重で下方に凸、逆に5.0 kg/cm²以上の荷重で上方に凸の傾向を示す。

4. 考察

以上の実験結果から、各種風化砂質土の圧縮性を比較検討する。まず水中で作成された飽和土供試体は、いずれの土も作成時に水挿入効果があり、その時の乾燥密度は不飽和土に約0.5 kg/cm²載荷した場合に相当するがえられている。この理由として、水中では粒子間のメニスカスによる張力が消失していることに加え、粘土鉱物も十分に水の供給を受けているので粒子面の粘着力が小さく、したがって安定した粒子構造になりうることによるものと考えられる。つぎに各風化土とも、不飽和土の $e - \log P$ 線は正規圧縮状態のもとで直線性を呈し、その

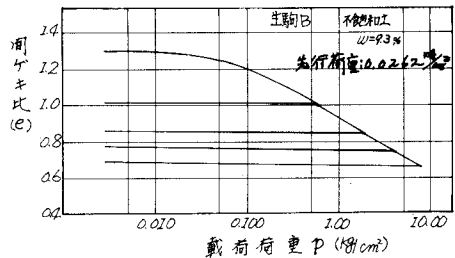


図-3 マサ土の繰返し圧縮曲線

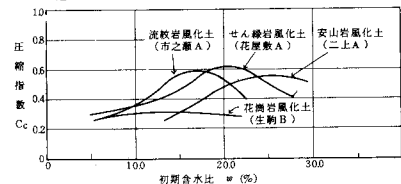


図-4 不飽和土の圧縮指標と含水比の関係

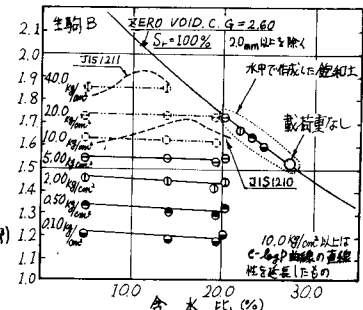


図-5 マサ土の繰固め曲線

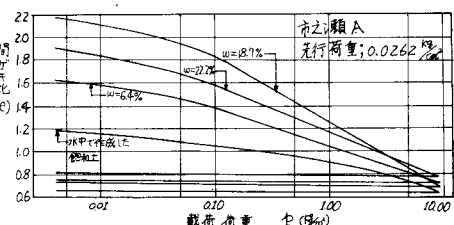


図-6 流紋岩風化土の圧縮曲線

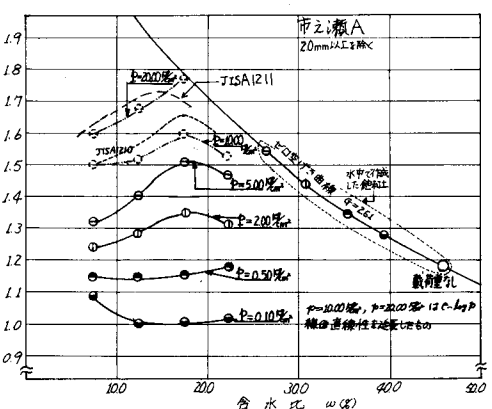


図-7 流紋岩風化土の繰固め曲線

勾配の値 C_c はマサ土を除き含水比によって異なる。そして $C_c \sim w$ 線は上方に凸で、 C_c の最大値は J.I.S.A 1210 の w_{opt} 付近にある。マサ土の C_c が約 0.3 と小さく、 w と無関係にはほぼ一定の値となる理由は、主たる含有鉱物が粒子表面のなめらかなる石英・長石等、さらには粘土鉱物も活性度の低いカオリナイトでしかも少量であることから、試料全体として粘性に乏しいことによるものと考えられる。これに対し、流紋岩・閃綠岩風化土の C_c は含水比によって異なる。これは、試料中に石英分が乏しいことに加え、とくに表-1のごとく水に敏感・活性度の高い粘土鉱物が含まれ、そのため試料全体としての粘性も水含量に左右されることによるものと考えられる。つぎに、締固め曲線をみると同一締固め荷重条件で、不飽和なマサ土は含水比に関係なくほぼ一定となる。これに対し、流紋岩・閃綠岩風化土の締固め曲線は約 0.5% 以下の荷重で下方に凸、逆に約 2.0 kg/cm² 以上の荷重では上方に凸となっている。同様に安山岩風化土も、この曲線は約 2.0% 以下の荷重で下方に凸、約 5.0% 以上の荷重で上方に凸となっている。これは前述のとおり、試料中の粘土鉱物の粘性特性によるものと考える。この締固め曲線から、転圧の問題について考えてみると（無論転圧機械による締固め機構と静的拘束状態による締固め機構とは差異はあるが）、マサ土の場合、それほど J.I.S.A 1210 の w_{opt} にこだわる必要もなさそうである。他方、流紋岩・閃綠岩・安山岩風化土の締固め曲線は、前述のとおり、締固め荷重の大小によって曲線形がかかる。とくに、荷重の小さい場合は、曲線が下方に凸となり、しかも J.I.S.A 1210 の w_{opt} 付近で最小の γ となる傾向があるので、転圧荷重には十分な配慮を必要とする。

5. あとがき

以上、多數の実験から、火成岩系風化土を利用して土構造物の沈下量を考えるための意義ある結果が得られたものと考える。

参考文献

- 1) 松尾新一郎、西田一彦、福田謙「火成岩風化土の工学的性質について」昭和 47 年度 土木学会年次学術講演概要、3 部、P.579-582.
- 2) 福田謙、薬師寺豊紀「マサ土の圧縮性とせん断強さについて」昭和 48 年度土木学会関西支部年次講演概要、II-17.
- 3) 福田謙、松下敏「流紋岩系風化土の工学的性質について」昭和 48 年度工木学会関西支部年次講演概要、III-14.
- 4) 福田謙、草加基「閃綠岩風化土の工学的性質について」昭和 48 年度土木学会関西支部年次講演概要、II-16.

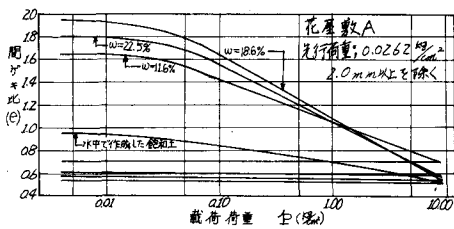


図-8 閃綠岩風化土の圧縮曲線

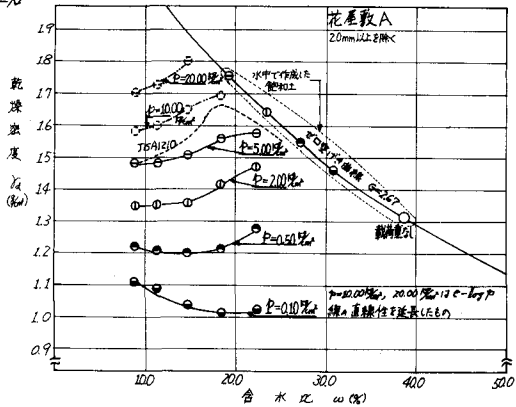


図-9 閃綠岩風化土の締固め曲線

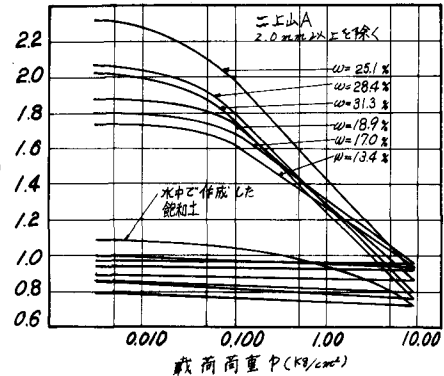


図-10 安山岩風化土の圧縮曲線

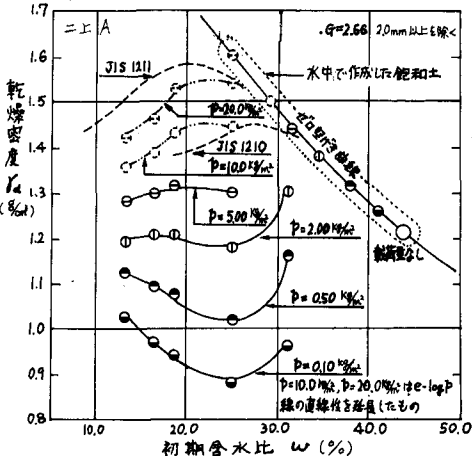


図-11 安山岩風化土の締固め曲線